

# جذب سطحی یون سیانید با نانوجاذب زئولیت کلینوپتیولیت

اعظم السادات قرقچیان، حسین محمدی منش\*

دانشکده شیمی، مجتمع علوم، دانشگاه یزد، یزد، ایران

سید رضا فانی

بخش تحقیقات گیاه‌پزشکی، مرکز تحقیقات و آموزش کشاورزی و منابع طبیعی استان یزد، سازمان تحقیقات، آموزش و ترویج کشاورزی، یزد، ایران

محسن حکیمی

دانشکده فنی‌یزد، مجتمع علوم، دانشگاه یزد، یزد، ایران

**چکیده:** سیانید از جمله مواد سمی است که در پساب بسیاری از صنایع وجود دارد و راه‌های متفاوتی برای کاهش آن بررسی شده است، از جمله می‌توان به روش‌های اکسایش با ازن، تخریب با تابش پرتو فرابنفش، کلردار کردن قلیایی و تخریب با استفاده از پراکسید هیدروژن اشاره کرد. هر کدام از این روش‌ها دارای معايب و برتری‌های گوناگونی هستند اما از میان آن‌ها، جذب سطحی یک روش مؤثر و کارآمد محسوب می‌شود. از طرفی زئولیت‌ها که آلومنیوسیلیکات بلورین و آبدار فلز‌های قلیایی و قلیایی خاکی هستند، توانایی جذب کاتیون‌ها و آنیون‌ها را دارد. در این پژوهش، جذب سطحی یون سیانید از محلول‌های آبی با استفاده از زئولیت و عامل‌های مؤثر بر آن مورد مطالعه قرار گرفته است. برای تهیه محلول سیانید بر اساس روش استاندارد از نمک سدیم سیانید و برای تنظیم pH از محلول‌های ۰/۰ مولار هیدروکلراید اسید و سدیم هیدروکسید استفاده شد. در این پژوهش، به بررسی عامل‌های اثر pH اولیه محلول، اثر غلاظت اولیه محلول، اثر مقدار جاذب، اثر زمان تماس و اثر دما بر جذب سطحی یون‌های سیانید با نانوجاذب زئولیت کلینوپتیولیت پرداخته شد و پس از بررسی‌های انجام شده مقدارهای بھینه و مناسب هر یک از پارامترهای مؤثر ( $pH=6$ ) غلاظت اولیه محلول یون سیانید ۱۵۰ میلی‌گرم در لیتر، مقدار جاذب یک گرم بر لیتر، زمان تماس ۶۰ دقیقه و دما ۲۲ درجه سلسیوس (S) که بیشترین مقدار درصد جذب یون سیانید را دارا می‌باشد به دست آمد. تحت این شرایط بھینه، بیشترین درصد جذب آنیون سیانید بر روی نانوجاذب زئولیت کلینوپتیولیت ۸۵ درصد به دست آمد. همچنین به بررسی رابطه بین داده‌های تحریبی و معادله هم دمایی لانگمویر، فرونالیچ و تمکین پرداخته شد. مقدار  $R^2$  برای هم‌دماهای لانگمویر، فرونالیچ و تمکین به ترتیب  $0/9137$ ،  $0/9900$  و  $0/99$  به دست آمد که نشان می‌دهد بین داده‌های تحریبی و هم‌دماهای تمکین تطابق بیشتری نسبت به دو هم‌دماهای دیگر وجود دارد.

**واژگان کلیدی:** جذب سطحی، آنیون سانید، نانوجاذب زئولیت کلینوپتیولیت، هم‌دما

**KEYWORDS:** Adsorption Isotherms, Cyanide Anion, Surface Adsorption, Nano-Adsorbent zeolite clinoptilolite.

+Email: mohammadimanesh@yazd.ac.ir

\* عهده‌دار مکاتبات

**مقدمه**

داشته باشند. اندازه‌های حفره‌ها و کانال‌های هر زئولیت از مشخصه‌های آن می‌باشد که باعث ایجاد پدیده جذب گرنینشی یعنی جذب یک یون یا مولکول خاص در حضور گونه‌های دیگر می‌شود [۴]. یون سیانید، ترکیبی از عناصر کربن-نیتروژن است که از ترکیب سمی تهدیدکننده منابع آب‌های سطحی و زیرزمینی محسوب می‌شود [۵]. این ترکیب معمولاً با شکل‌های متفاوتی مانند نمک، یون، کمپلکس فلزها و به صورت سیانید مولکولی در محیط‌های آبی توسط صنایع گوناگون به صورت طبیعی آزاد می‌شود [۶]. حضور سیانید و ترکیب آن در محیط‌بست، مخصوصاً منابع آبی، به یک نگرانی بزرگ تبدیل شده است. زیرا از سوی دارای اثرهای سو بر زیست بوم آبی می‌باشد و از سوی دیگر برای انسان سمی بوده و باعث بروز عوارضی مانند تهوع، استفراغ، افزایش تپش قلب، ورم ریه، عدم هوشیاری و مرگ می‌شود [۷]. طبق قوانین وضع شده در اتحادیه اروپا، بیشترین غلظت مجاز سالیانه سیانید در منابع آبی کمتر از ۴۰ میکروگرم بر لیتر است [۸]. سازمان جهانی بهداشت، بیشترین غلظت مجاز سیانید در آب آشامیدنی را ۰/۰۷ میلی‌گرم در لیتر تعیین کرده است [۹، ۱۰]. امروزه فرایندهای گوناگون فیزیکی، شیمیایی و زیستی برای حذف سیانید از محیط‌های آبی مورد استفاده قرار گرفته‌اند که هر کدام از روش‌ها، دارای برتری‌ها و معایب خاص خود هستند [۱۱، ۱۲]. در دهه‌های اخیر تلاش‌هایی برای تولید و به کار بردن مواد ارزان قیمت برای حذف آلودگی به علت فلزهای سنگین‌تر از آب و پساب‌های صنعتی صورت گرفته است. از جمله مواد معدنی که کاربرد وسیعی برای حذف این آلودگی‌ها پیدا کرده‌اند، زئولیت‌ها هستند. این مواد دارای ساختار سه‌بعدی الومینوسیلیکاتی هستند. به ازای هر چهار وجهی در شبکه زئولیت، یک بار منفی در شبکه ایجاد می‌شود. سیلیسیم به صورت کاتیون و آلومینیم به صورت کاتیون است. بارهای منفی به دست آمده به‌وسیله کاتیون‌های متحرک موجود در شبکه خنثی می‌شوند. شبکه دارای کانال‌ها و یا حفره‌های متصل به هم است که به وسیله‌ی آب و کاتیون‌ها اشغال می‌شوند. کاتیون‌های شبکه متحرک هستند و این تحرک خاصیت تبادل کاتیونی را برای زئولیت فراهم می‌آورد [۱۳] زورپاس<sup>۱</sup> و همکاران دریافتند که تیمار لجن پساب با کلینوپیتولیت، ویژگی‌های خاک را بهبود بخشیده و غلظت فلزهای سنگین آن نسبت به لجن پساب را کاهش می‌دهد. آن‌ها همچنین دریافتند که زئولیت می‌تواند فلزها را به میزان قابل توجهی جذب نماید. در پژوهشی که توسط کوراما<sup>۲</sup> و همکاران در ترکیه با

امروزه یکی از چالش‌های اصلی کشور و به ویژه استان یزد مسئله آب است. واقع شدن ایران در ناحیه خشک و نیمه‌خشک و به دنبال آن معضل کم‌آبی و بروز خشکسالی‌های متوالی و افت آب‌های سطحی و زیرزمینی سبب شده تا استفاده مجدد از پساب تصفیه شده به طور جدی مطرح باشد. با توجه به این که ۹۹٪ وزن پساب‌ها را آب تشکیل می‌دهد، بازیافت آب از پساب، کاهش آلودگی، پاکسازی آب از آلاینده‌های بیماری‌زا و استفاده مجدد در کشاورزی و صنعت می‌تواند تا حد ممکن بحران کمبود آب را مرتفع نماید. استان یزد با دارا بودن شهرک‌های صنعتی متعدد در بازه خود و به دنبال آن حجم پساب‌های تولیدی به علت این شهرک‌ها به شدت با مشکل کم‌آبی روبرو است. بنابراین لزوم تصفیه مناسب پساب‌ها و مدیریت کارآمد پساب‌های تولیدی شهرک‌های صنعتی این استان به طور جدی می‌باشد مطرح و مورد پیگیری باشد. پس به‌دلیل کمبود آب و همچنین خطرهای وجود آلاینده‌های آب برای انسان و سایر موجودهای زنده بشر همواره به دنبال حذف این آلاینده‌ها از جمله آنیون‌های مضر آب بوده و به روش‌های گوناگونی این کار را انجام می‌دهد. روش‌های متعددی برای حذف آنیون‌های مضر آب مورد استفاده قرار می‌گیرد [۱]. اغلب روش جذب سطحی به‌دلیل مقرن به صرفه بودن و بازده بالا و سادگی این روش نسبت به سایر روش‌ها مورد توجه قرار گرفته است. جذب سطحی بستگی به عامل‌هایی مانند pH، غلظت آلاینده‌ها، زمان تماس فاز جاذب با آلاینده و ماده جاذب دارد [۲]. مهم‌ترین مکانیسم حذف فلزهای سنگین توسط زئولیت، تبادل یونی و در درجه بعدی رسوب فلزهای نامحلول است. چندین فاکتور مؤثر بر تبادل یونی توسط زئولیت‌ها شامل غلظت و ماهیت کاتیون‌ها، pH و ساختار بلور زئولیت‌ها هستند [۳]. با توجه به وجود منابع عظیم زئولیت در ایران و بهره‌برداری از این منابع در مناطقی از قبیل سمنان، این منابع می‌تواند به طور گسترده‌ای در حذف آلاینده‌ها زیست محیطی مورد استفاده قرار گیرند. این ترکیب‌ها دارای ساختار چهار وجهی (چهار اتم اکسیژن حول یک اتم سیلیسیم) هستند که در آن حفره‌ها و کانال‌هایی با اندازه‌های ۳-۱۰ آنگستروم وجود دارد. در داخل این حفره‌ها به میزان ۲۰-۱۰ درصد آب وجود دارد. وجود این ساختمندان در زئولیت به آن‌ها اجازه می‌دهد تبادل کاتیونی را با ظرفیت بین ۲/۴-۱۶/۷۳ meq/g داشته باشند.

(۱) Zorpas

(۲) Kurama

فرایند جذب سطحی مانند pH اولیه محلول، مدت زمان تماس جاذب با محلول، غلظت اولیه منیزیم در محلول، مقدار جاذب و دما بر درصد جذب منیزیم بررسی شده است. همچنین ویژگی‌های سطح و گروه‌های عاملی موجود در جاذب به ترتیب توسط آنالیزهای SEM و FT-IR مورد بررسی قرار گرفتند. در مطالعه اثر pH بالاترین درصد جذب منیزیم برای زئولیت در  $pH=7$  اتفاق افتاد در بررسی اثر غلظت اولیه منیزیم در بازه  $50\text{--}250$  میلی‌گرم بر لیتر، نتیجه‌ها نشان داد با افزایش غلظت، درصد جذب کاهش یافته و با افزایش مقدار زئولیت از  $0\text{/}5$  تا  $2\text{/}5$  گرم، درصد جذب افزایش پیدا کرد. با بررسی اثر دما مشاهده شد با افزایش دما، درصد جذب نیز افزایش یافته است. در بررسی مدل‌های سینتیک فرایند جذب (شبیه مرتبه اول، شبیه مرتبه دوم و نفوذ درون ذره‌ای)، مشاهده شد که مدل شبیه مرتبه دوم بیشترین تطابق را با داده‌های تجربی دارد. همچنین در بررسی اثر غلظت اولیه منیزیم در محلول و برآنش داده‌های تجربی با هم‌دماهای لانگمویر، فروندلیچ، تمکین، دوبینین-رادوشکویچ و با توجه به مقدارهای  $R^2$  به دست آمده، هم‌دماهای لانگمویر بیشترین تطابق را داشته است و بیشترین ظرفیت جذب لانگمویر  $4/77$  میلی‌گرم بر گرم در دمای  $45$  درجه سلسیوس است [۱۹].

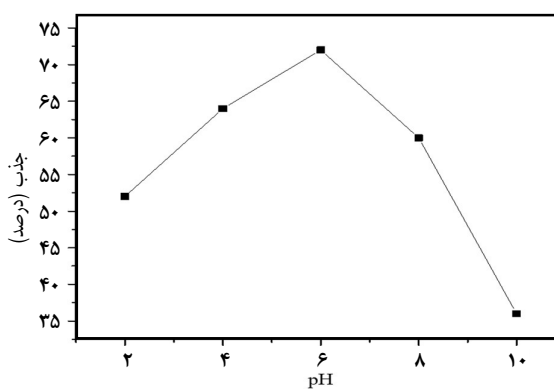
### بخش تجربی مواد و روش‌ها

در مطالعه حاضر، از نانوجاذب زئولیت کلینوپیتیولیت فراورده شرکت افزارزند سمنان برای حذف آنیون سیانید از محلول‌های آبی استفاده شد. به منظور تعیین شرایط بهینه فرایند موردنظر، اثر pH محلول، غلظت اولیه سیانید، مقدار جاذب، مدت زمان تماس و دما مورد بررسی قرار گرفت. برای تهیه محلول سیانید بر اساس کتاب روش استاندارد از نمک سدیم سیانید و آب مقطر استفاده شد. برای تنظیم pH از محلول‌های هیدروکلریدریک اسید و سدیم‌هیدروکسید یکدهم مولار استفاده شد و pH توسط دستگاه pH متر اندازه‌گیری شد. همچنین، برای اندازه‌گیری غلظت باقی‌مانده سیانید از روش تیتراسیون مطابق روش CN-D4500 بر اساس کتاب [۲۰]. این روش، یک روش تیتراسیون با محلول  $\text{AgNO}_3$  در حضور معرف پارا-دی متیل آمینو بنزال رودانین است. سیانید موجود در محلول پس از تیتر کردن با نقره نیترات به صورت کمپلکس  $[\text{Ag}(\text{CN})_2^-]$  در می‌آید و به محض این‌که تمام سیانید کمپلکس شد، افزایش مقدار کمی یون نقره در حضور معرف رودانین

استفاده از رزین آنیونی برای حذف ترکیب‌های سیانید انجام گرفت، آن‌ها موفق شدند در  $pH=7/2$  غلظت سیانید را از  $530$  میلی‌گرم در لیتر به  $5$  میلی‌گرم در لیتر کاهش دهند [۱۶]. کلوپکا و آدریانو در سال ۱۹۹۷ میلادی در مطالعه گلخانه‌ای اثر زئولیت بر ثبت و کاهش جذب فلزهای سنگین به وسیله فراورده‌های زراعی (گندم و جو) را بررسی و گزارش نمودند که غلظت  $15$  گرم بر کیلوگرم زئولیت، جذب سرب و کadmیوم توسط گیاهان زراعی را به طور چشم‌گیری کاهش می‌دهد [۱۴]. سیانید با وجود سمی و خطرناک بودن یکی از مواد اصلی مورد استفاده در صنایعی مانند آبکاری، کارخانه‌های تولید فیبر، تولید پلاستیک، چسب، مواد رنگی و شیمیایی آبی، داروسازی، عکاسی، وسایل آرایشی، سختی فلزها و فولاد، فرایندهای فتوگرافی، تهیه نیتریل‌ها، کوره‌های کک‌سوز و... می‌باشد. اما یکی از اصلی‌ترین و مهم‌ترین مصرف‌های آن در صنعت معدن کاری و به منظور بازیابی فلزهای گران‌بهای مانند طلا و نقره است [۱۷]. سمیعی بیرق و همکاران در مطالعه‌ای به بررسی فرایند حذف سیانید از آب سد باطله کارخانه فرآوری طلا آفرده - تکاب با استفاده از کانی تالک پرداخته‌اند و به بررسی تأثیر پارامترهایی چون مقدار و اندازه جاذب، زمان جذب، pH و دمای محلول در جذب سیانید پرداخته‌اند. در این پژوهش دو نوع تالک در دانه‌بندی‌های  $45\text{--}100$  میکرون (سفید)،  $100\text{--}300$  و  $300\text{--}500$  میکرون (صنعتی) مورد استفاده قرار گرفت. میزان بهینه تالک برای جذب سیانید در اندازه  $(45\text{--}100)$ ،  $100\text{--}300$  و  $300\text{--}300$  میکرون به ترتیب  $20$ ،  $28$  و  $36$  گرم در لیتر برآورد شد. pH بهینه برای هر سه اندازه حدود  $9$  تا  $9/5$  بود. زمان بهینه برای اندازه‌های  $(45\text{--}100)$ ،  $100\text{--}300$  و  $300\text{--}500$  میکرون به ترتیب برابر در  $50$ ،  $30$  و  $40$  دقیقه به دست آمد. سینتیک جذب در اندازه‌های  $(45\text{--}100)$  و  $300\text{--}500$  میکرون از معادله درجه اول لاجرجن و برای اندازه‌های  $100\text{--}300$  میکرون به طور کامل از مدل درجه دوم پیروی می‌کند. آگشته کردن تالک با محلول آلومینیم کلرید باعث افزایش سطح مثبت آن شده و بازده جذب سیانید را نیز افزایش می‌دهد. بیشینه جذب در هر سه اندازه بیشتر از مدل فروندلیچ پیروی می‌کند هر چند که میزان ضریب تعیین برای مدل لانگ‌مایر نیز برای اندازه‌های درشت زیاد است. درصد جذب سیانید در اندازه‌های  $(45\text{--}100)$  میکرون نسبت به اندازه‌های  $300\text{--}500$  میکرون بیشتر و نسبت به اندازه‌های  $100\text{--}300$  میکرون کمتر است [۱۸]. در پژوهش مرجانی و عبدالی، به بررسی جذب منیزیم در سامانه ناپیوسته توسط زئولیت، پرداخته شده است و اثر عامل‌های مؤثر بر

جدول ۱ - اثر pH اولیه محلول بر درصد جذب یون سیانید (شرايط ثابت: غلظت اولیه محلول یون سیانید ۵۰ میلی گرم در لیتر، مقدار جاذب یک گرم بر لیتر، زمان تماس ۴۰ دقیقه و دما ۲۲ درجه سلسیوس)

pH	درصد جذب یون سیانید
۲	۵۲
۴	۶۴
۶	۷۲
۸	۶۰
۱۰	۳۶



شکل ۲ - نمودار اثر pH اولیه محلول بر درصد جذب یون سیانید (شرايط ثابت: غلظت اولیه محلول یون سیانید ۵۰ میلی گرم در لیتر، مقدار جاذب یک گرم بر لیتر، زمان تماس ۴۰ دقیقه و دما ۲۲ درجه سلسیوس)

محلول اضافه شد و روی داستگاه همزن برقی به مدت ۴۰ دقیقه قرار داده شد. سپس محلول‌ها با استفاده از کاغذ صافی، صاف شدند. برای اندازه‌گیری سیانید باقی‌مانده، محلول‌های زیر صافی با روش تیتراسیون آنالیز شدند. نتیجه‌های اثر pH اولیه محلول بر درصد جذب یون سیانید در شرایط مذکور در جدول ۱ و شکل ۲ آورده شده است. همان‌گونه که مشاهده می‌شود، جذب سیانید تحت تأثیر تعییرهای pH قرار داد. بدطوری که بیشترین میزان حذف سیانید در pH = ۶ اتفاق افتاده و در pH برابر ۱۰ کمترین میزان حذف یون سیانید مشاهده شد. کاهش بازده حذف در pHهای بالاتر از شش به دلیل این است که باز سطحی تانوجاذب مورد استفاده منفی بوده و باعث ایجاد دافعه بین آئیون‌های سیانید در محلول و سطح منفی جاذب می‌شود. همچنین یون سیانید در محیط اسیدی و در غلظت‌های کم یون سیانید به صورت HCN محلول در آب در می‌آید که جذب آن نسبت به یون سیانید روی جاذب کمتر است البته HCN می‌تواند به صورت گاز از محلول خارج شود ولی خروج HCN به صورت گاز از محلول در زمان‌های طولانی (بیش از حداقل ۴ ساعت) طول می‌کشد.



شکل ۱ - رنگ محلول دارای سیانید در حضور معرف رودانین (الف) پیش از شروع تیتراسیون (ب) پس از انجام تیتراسیون

فوراً رنگ محلول را از زرد قناری به رنگ گل‌بهی تغییر می‌دهد. شکل ۱ رنگ محلول‌ها پیش و پس از تیتراسیون را نشان می‌دهد. در این پژوهش آزمایش‌ها با سه بار تکرار انجام شده و میانگین آن‌ها مورد استفاده قرار گرفت. برای سنجش جذب از دستگاه طیف‌سنج (Nanodro 2000, Thermo Fisher Scientific, USA) استفاده شد. میزان آئیون سیانید جذب شده از تفاوت بین غلظت اولیه و غلظت پس از تماس با جاذب محاسبه شد، همچنین درصد جذب با استفاده از معادله (۱) بر حسب میلی گرم بر لیتر به دست می‌آید:

$$\% \text{Adsorption} = \frac{(C_i - C_f)}{C_i} \times 100 \quad (1)$$

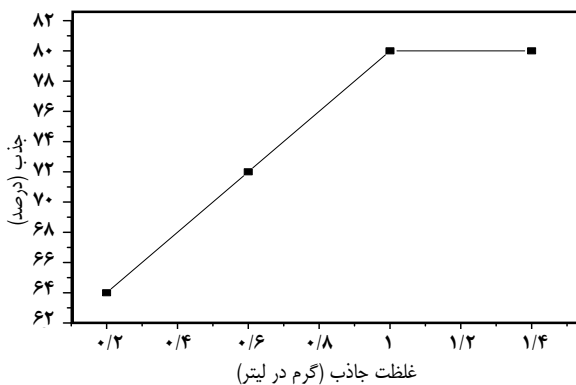
که  $C_i$  و  $C_f$  به ترتیب غلظت اولیه و نهایی آئیون سیانید پس از انجام آزمایش در محلول است.  $q_e$  یون‌های جذب شده بر حسب میلی گرم به ازای یک گرم جاذب با استفاده از معادله (۲) محاسبه می‌شود:

$$q_e = \frac{V}{m} (C_i - C_f) \quad (2)$$

که  $C_i$  غلظت اولیه و  $C_f$  غلظت تعادلی محلول یون سیانید بر حسب میلی گرم بر لیتر،  $V$  حجم محلول نمونه بر حسب لیتر و  $m$  جرم نمونه جاذب بر حسب گرم می‌باشد.

## نتیجه‌ها و بحث

اثر pH بر میزان درصد جذب سیانید با نانوجاذب زئولیت کلینوپیتولیت یکی از پارامترهای مهم در فرایند جذب سطحی، pH اولیه محلول است. برای تعیین اثر pH محلول سیانید با غلظت ۵۰ میلی گرم در لیتر با pHهای ۱۰، ۸، ۶، ۴ و ۲ تهیه کردیم. برای تنظیم pH از محلول اسید کلربیک در مولاریته‌های متفاوت استفاده شده است. سپس مقدار یک گرم بر لیتر زئولیت کلینوپیتولیت به هر



شکل ۴ - نمودار اثر مقدار نانوجاذب بر درصد جذب یون سیانید (شرایط ثابت:  $pH=6$ ، غلظت اولیه محلول یون سیانید ۱۵۰ میلی گرم در لیتر، زمان تماس ۴۰ دقیقه و دما ۲۲ درجه سلسیوس)

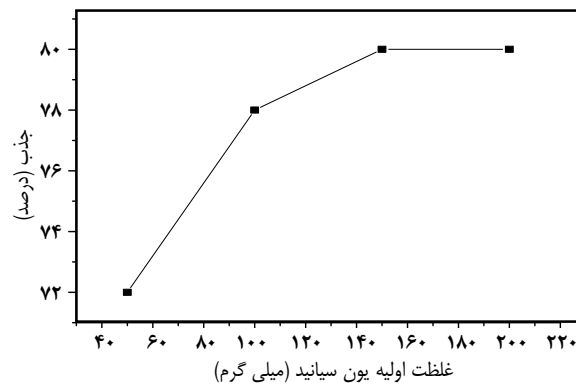
یک گرم بر لیتر تقریباً ثابت می‌ماند. ثابت ماندن درصد جذب پس از مقدار ۱ گرم بر لیتر نانوجاذب نشان می‌دهد که در این غلظت از جاذب، جذب یون سیانید به تقریب کامل شده و مقدار ناچیزی از جذب شونده در محلول باقی می‌ماند، بنابراین با افزایش مقدار جاذب، درصد جذب تغییر چشمگیری نمی‌کند. همچنین ممکن است به خاطر مزاحمت برخی از مکان‌های جذب برای یکدیگر باشد. بنابراین مقدار بهینه غلظت جاذب زئولیت کلینوپتیلویلت برای جذب سیانید حدود یک گرم بر لیتر پیشنهاد می‌شود.

#### اثر زمان تماس بر میزان درصد جذب یون سیانید با نانوجاذب زئولیت کلینوپتیلویلت

برای بررسی این پارامتر از زمان‌های ۲۰، ۴۰، ۶۰ و ۸۰ دقیقه استفاده شد. در این آزمایش غلظت اولیه یون‌های سیانید ۱۵۰ میلی گرم در لیتر،  $pH$  برابر با ۶، مقدار جاذب یک گرم بر لیتر و دما ۲۲ درجه سلسیوس در نظر گرفته شده است. نتیجه‌های اثر زمان تماس بر درصد جذب یون‌های سیانید در شکل ۵ نمایش داده شده است. با افزایش بیشتر زمان تماس، مقدار جذب اندکی کاهش می‌یابد که می‌تواند به علت واجذب یون‌های سیانید از سطح جاذب باشد. با توجه به نتیجه‌های نمایش داده شده در شکل ۵ زیر مدت زمان تماس بهینه برای جذب سیانید توسط زئولیت کلینوپتیلویلت حدود ۶۰ دقیقه پیشنهاد می‌شود.

#### اثر دما بر میزان درصد جذب یون سیانید با نانوجاذب زئولیت کلینوپتیلویلت

برای بررسی اثر دما بر درصد جذب سیانید دماهای ۴۲، ۳۲، ۲۲



شکل ۳ - نمودار اثر غلظت اولیه یون سیانید بر درصد جذب یون سیانید (شرایط ثابت:  $pH=6$ ، مقدار جاذب یک گرم بر لیتر، زمان تماس ۴۰ دقیقه و دما ۲۲ درجه سلسیوس)

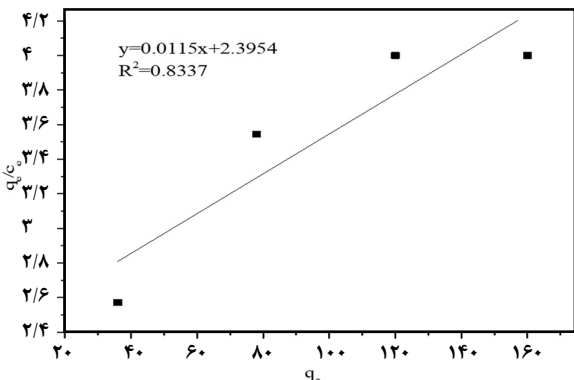
اثر غلظت اولیه بر درصد جذب سیانید با نانوجاذب زئولیت کلینوپتیلویلت برای بررسی اثر غلظت اولیه یون سیانید، محلول‌هایی با غلظت‌های اولیه ۱۰۰، ۱۵۰ و ۲۰۰ میلی گرم در لیتر از یون‌های سیانید تهیه شدند. محلول‌های یون سیانید ع مقدار جاذب یک گرم بر لیتر و دما ۲۲ درجه سلسیوس در نظر گرفته شد. داده‌های درصد جذب بر حسب غلظت اولیه یون‌های سیانید در شرایط فوق در شکل ۳ آورده شده است. چنانچه مشاهده می‌شود درصد جذب تا غلظت ۱۵۰ میلی گرم در لیتر افزایش و از غلظت حدود ۱۵۰ میلی گرم در لیتر به بالا تقریباً ثابت شده است. علت این امر شاید این است که با افزایش مواد جذب شونده روی جاذب، به سرعت مکان‌های جذب روی جاذب اشباع شده و بازده حذف ماده‌ی جذب شونده ثابت می‌ماند. بنابراین غلظت اولیه بهینه سیانید برای جذب توسط زئولیت کلینوپتیلویلت حدود ۱۵۰ میلی گرم در لیتر پیشنهاد می‌شود.

#### اثر مقدار جاذب بر میزان درصد جذب یون سیانید با نانوجاذب زئولیت کلینوپتیلویلت

برای تهیه مقدار بهینه جاذب مقدار ۰/۰۱، ۰/۰۳، ۰/۰۵ و ۰/۰۷ گرم زئولیت کلینوپتیلویلت را به ۵۰ میلی لیتر محلول سیانید با غلظت ۱۵۰ میلی گرم در لیتر که  $pH$  آن با مقدار بهینه ۶ تنظیم شده بود اضافه شد و محلول به مدت ۴۰ دقیقه در دمای ۲۲ درجه سلسیوس روی همزن برقی قرار داده شد. نتیجه‌های اثر مقدار نانوجاذب بر میزان درصد جذب یون سیانید با شرایط مذکور در شکل ۴ آورده شده است. چنانچه مشاهده می‌شود درصد جذب یون سیانید با افزایش غلظت جاذب تا یک گرم بر لیتر افزایش و بالاتر از حدود

جدول ۲ - نتیجه‌های جذب سطحی یون سیانید روی نانوجذب زئولیت کلینوپتیلویلت برای برازش با همدمای لانگمویر (شرایط ثابت: pH=۶، مقدار جاذب یک گرم بر لیتر، زمان تماس ۶۰ دقیقه و دما ۲۲ درجه سلسیوس)

C <sub>i</sub> (mg/L)	C <sub>e</sub> (mg/L)	q <sub>e</sub>	q <sub>e</sub> /C <sub>e</sub>
۵۰	۱۴	۳۶	۲/۵۷۱
۱۰۰	۲۲	۷۸	۳/۵۴۵
۱۵۰	۳۰	۱۲۰	۴
۲۰۰	۴۰	۱۶۰	۴

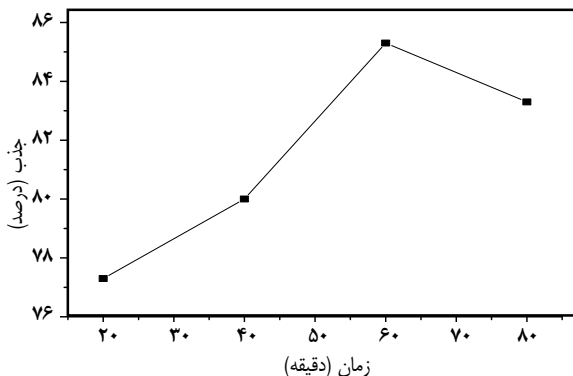


شکل ۷ - نمودار تجربی جذب سطحی یون سیانید با نانوجذب زئولیت کلینوپتیلویلت برای برازش با همدمای لانگمویر (شرایط ثابت: pH=۶، غلظت اولیه محلول یون سیانید ۱۵۰ میلی‌گرم در لیتر، مقدار جاذب یک گرم بر لیتر، زمان تماس ۶۰ دقیقه و دما ۲۲ درجه سلسیوس)

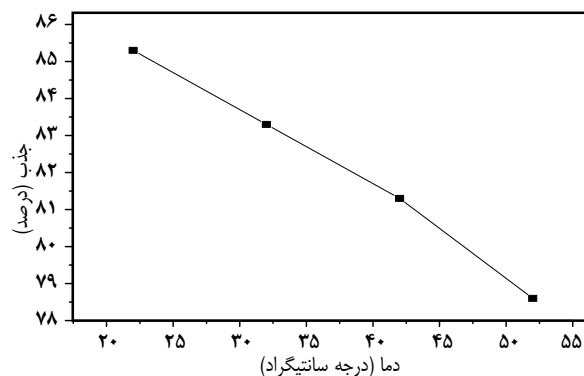
**همدمای جذب سطحی لانگمویر**  
از همدمای لانگمویر می‌توان برای بهدست آوردن یک تقریب خام از مساحت سطح ویژه استفاده کرد.  
معادله خطی این مدل به شرح معادله (۳) می‌باشد:

$$\frac{q_e}{C_e} = q_m K_L - q_e K_L \quad (3)$$

که  $C_e$  غلظت تعادلی جذب شونده در محلول بر حسب میلی‌گرم بر لیتر و  $q_e$  مقدار ماده جذب شده به ازای واحد جرم جاذب در تعادل بر حسب میلی‌گرم می‌باشد.  $q_m$  بیشینه طرفیت جذب برای جاذب بر حسب میلی‌گرم بر گرم است.  $K_L$  بر حسب لیتر بر میلی‌گرم جاذب، نشان‌دهنده میل ترکیبی جاذب با جذب شونده است. آزمایش‌های همدمای جذب لانگمویر برای جذب یون سیانید با استفاده از نانوجذب زئولیت کلینوپتیلویلت تحت شرایط ثابت (pH=۶، مقدار جاذب یک گرم بر لیتر، زمان تماس ۶۰ دقیقه و دما ۲۲ درجه سلسیوس) انجام گرفت [۲۱]. نتیجه‌های جذب سطحی یون سیانید با نانوجذب زئولیت کلینوپتیلویلت در برازش با همدمای لانگمویر در جدول ۲ و همچنین نمودار تجربی جذب سطحی با همدمای لانگمویر در شکل ۷ آورده شده است.



شکل ۵ - نمودار اثر زمان تماس بر درصد جذب یون سیانید (شرایط ثابت: pH=۶، غلظت اولیه محلول یون سیانید ۱۵۰ میلی‌گرم در لیتر، مقدار جاذب یک گرم بر لیتر، و دما ۲۲ درجه سلسیوس)



شکل ۶ - نمودار اثر دما بر درصد جذب یون سیانید (شرایط ثابت: pH=۶، غلظت اولیه محلول یون سیانید ۱۵۰ میلی‌گرم در لیتر، مقدار جاذب یک گرم بر لیتر و زمان تماس ۶۰ دقیقه)

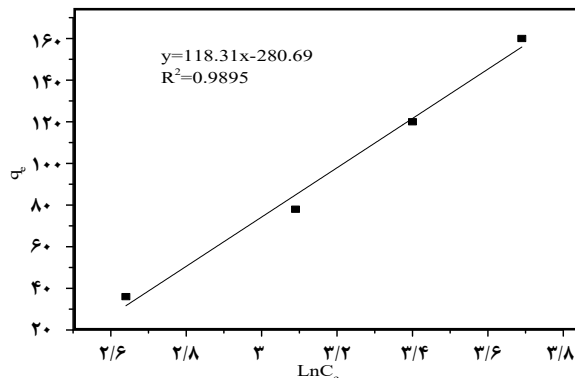
و ۵۲ درجه سلسیوس مورد استفاده قرار گرفت. در این آزمایش غلظت اولیه محلول یون سیانید ۱۵۰ میلی‌گرم در لیتر، pH محلول برابر ۶، مقدار جاذب یک گرم بر لیتر، زمان تماس ۶۰ دقیقه در نظر گرفته شد. همان‌گونه در شکل ۶ مشاهده می‌کنید با افزایش دما، درصد جذب سیانید رو به کاهش می‌باشد. زیرا فرایند جذب سطحی یون‌های سیانید روی نانوجذب زئولیت کلینوپتیلویلت مانند اغلب فرایندهای جذب سطحی گرمaza است.

#### تعیین همدمای جذب سطحی

در این مطالعه، پس از بهدست آوردن پارامترهای بهینه برای جذب سطحی یون سیانید با نانوجذب زئولیت کلینوپتیلویلت، همدمای جذب سطحی مورد بررسی قرار گرفت. داده‌های تجربی تعادل جذب با مدل‌های همدمای لانگمویر، فروندلیچ و تمکین بررسی شدند.

جدول ۴ - نتیجه‌های جذب سطحی یون سیانید روی نانوجاذب زئولیت کلینوپیتیولیت برای برازش با هم‌دمای تمکین (شرایط ثابت: pH=۶، مقدار جاذب یک گرم بر لیتر، زمان تماس ۶۰ دقیقه و دما ۲۲ درجه سلسیوس)

C <sub>e</sub> (mg/L)	C <sub>e</sub> (mg/L)	Ln C <sub>e</sub>	q <sub>e</sub>
۵۰	۱۴	۲/۶۴	۳۶
۱۰۰	۲۲	۳/۰۹	۷۸
۱۵۰	۳۰	۳/۴۰	۱۲۰
۲۰۰	۴۰	۳/۶۹	۱۶۰



شکل ۹ - نمودار تجربی جذب سطحی یون سیانید روی نانوجاذب زئولیت کلینوپیتیولیت در برازش با هم‌دمای تمکین (شرایط ثابت: pH=۶، مقدار جاذب یک گرم بر لیتر، زمان تماس ۶۰ دقیقه و دما ۲۲ درجه سلسیوس)

جذب سطحی فروندلیج در شکل ۸ نمایش داده شده است. با توجه به مقدار  $R^2 = 0.9837$  می‌توان نتیجه گرفت داده‌های تجربی تطابق خوبی با هم‌دمای فروندلیج دارند. از روی شبیه و عرض از مبدا خط برازش شده با هم‌دمای فروندلیج به ترتیب مقدار  $n/87$  برای  $n$  و مقدار  $1/88$  برای  $K_F$  بدست آمد که با توجه به این که مقدار  $\frac{1}{n}$  از عدد یک بزرگ‌تر است پس جذب سطحی سیانید روی زئولیت کلینوپیتیولیت مطلوب است.

#### هم‌دمای جذب سطحی تمکین

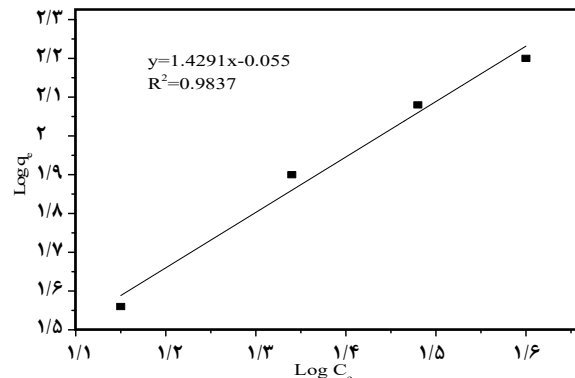
هم‌دمای جذب سطحی تمکین برای آزمایش‌های جذب شیمیایی که از یک تک لایه تشکیل می‌شود مناسب است و معادله خطی این هم‌دمای به صورت زیر می‌باشد:

$$q_e = B_1 \ln C_e + B_1 \ln K_T \quad (5)$$

که  $C_e$ (mg/L) غلظت تعادلی جذب‌شونده در محلول و  $q_e$  مقدار ماده جذب شده به ازای واحد جرم جاذب در حالت تعادل می‌باشد. برای تعیین ثابت‌های  $B_1$  و  $K_T$  با استفاده از این هم‌دمای از رسم نمودار  $\log q_e$  در برابر  $\log C_e$  خطی با شبیه  $\frac{1}{n}$  و عرض از مبدأ  $\log K_T$  بدست می‌آید.

جدول ۳ - نتیجه‌های جذب سطحی یون سیانید روی نانوجاذب زئولیت کلینوپیتیولیت برای برازش با هم‌دمای فروندلیج (شرایط ثابت: pH=۶، مقدار جاذب یک گرم بر لیتر، زمان تماس ۶۰ دقیقه و دما ۲۲ درجه سلسیوس)

C <sub>e</sub> (mg/L)	C <sub>e</sub> (mg/L)	q <sub>e</sub>	log C <sub>e</sub>	log q <sub>e</sub>
۵۰	۱۴	۳۶	۱/۱۵	۱/۵۶
۱۰۰	۲۲	۷۸	۱/۳۴	۱/۹۰
۱۵۰	۳۰	۱۲۰	۱/۴۸	۲/۰۸
۲۰۰	۴۰	۱۶۰	۱/۶۰	۲/۲۰



شکل ۸ - نمودار تجربی جذب سطحی یون سیانید روی نانوجاذب زئولیت کلینوپیتیولیت در برازش با هم‌دمای فروندلیج (شرایط ثابت: pH=۶، مقدار جاذب یک گرم بر لیتر، زمان تماس ۶۰ دقیقه و دما ۲۲ درجه سلسیوس)

همان‌گونه که در شکل ۷ مشاهده می‌کنید مقدار  $R^2 = 0.8337$  به دست آمد که نشان می‌دهد تطابق خوبی بین داده‌های تجربی و معادله لانگمویر وجود ندارد.

#### هم‌دمای جذب سطحی فروندلیج

برای بیان جذب چند لایه‌ای در سطوح ناهمگن از هم‌دمای فروندلیج استفاده می‌شود. معادله (۴) شکل خطی این هم‌دمای نمایش می‌دهد.

$$\log q_e = \log K_F + \frac{1}{n} \log C_e \quad (4)$$

که  $C_e$  غلظت تعادلی جذب‌شونده در محلول بر حسب میلی گرم بر لیتر،  $q_e$  مقدار ماده جذب‌شونده به ازای واحد جرم جاذب در حالت تعادل می‌باشدند. برای تعیین ثابت‌های  $n$  و  $K_F$  با استفاده از این هم‌دمای از رسم نمودار  $\log q_e$  در برابر  $\log C_e$  خطی با شبیه  $\frac{1}{n}$  و عرض از مبدأ  $\log K_F$  بدست می‌آید.

نتیجه‌های جذب سطحی یون سیانید با نانوجاذب زئولیت کلینوپیتیولیت برای برازش با هم‌دمای جذب سطحی فروندلیج در جدول ۳ گزارش شده است. که با استفاده از داده‌های این جدول، نمودار  $\log q_e$  در برابر  $\log C_e$  بر حسب  $\log q_e$  و برازش آن با هم‌دمای

جدول ۵ - مقایسه جاذب‌های گوناگون برای حذف سیانید از محلول‌های آبی از نظر درصد جذب سطحی

مرجع	شرایط جذب	میزان جذب	جاذب
[۲۳]	میزان بیشترین حذف سیانید در pH ۱۱ زمان ماند ۱۲۰ دقیقه و غلظت سیانید $2/5 \text{ mg/L}$ و جاذب $1 \text{ g/L}$ .	>٪۹۷	نانوذره‌ها آهن
[۲۴]	بیشترین میزان حذف سیانید در غلظت $10 \text{ mg/L}$ از یون سیانید، میزان $1 \text{ g/L}$ از جاذب، زمان تماس ۱۲۰ دقیقه و pH برابر ۴ مشاهده شد.	>٪۹۲	نانوذره‌ها هیدروکسی آپاتیت مغناطیسی
[۲۵]	در pH برابر $7/3$ و دمای $10^\circ\text{C}$ درجه سلسیوس	٪۸۸	آلومینا $\text{Al}_2\text{O}_3$
[۲۶]	در pH برابر ۱۱، زمان $35^\circ\text{C}$ در حضور $34 \text{ g/L}$ کربن فعال، دمای $30^\circ\text{C}$ درجه سلسیوس	٪۸۰	کربن فال
[۲۷]	در pH برابر ۱۱، زمان $4^\circ\text{C}$ ساعت در حضور $1 \text{ g/L}$ جاذب.	٪۷۸	کاتالیست $\text{TiO}_2$

اثر دما بر جذب سطحی یون‌های سیانید با نانوجاذب زئولیت کلینوپتیلولیت مورد ارزیابی قرار گرفت. مقدارهای بهینه ( $\text{pH}=6$ ) غلظت اولیه محلول یون سیانید  $150 \text{ میلی‌گرم در لیتر}$ ، مقدار جاذب یک گرم بر لیتر، زمان تماس  $60^\circ\text{C}$  دقیقه و دمای  $22^\circ\text{C}$  درجه سلسیوس) به دست آمد. همچنین با بررسی برآنش داده‌های تجربی توسط معادله‌های هم‌دما مقدارهای  $R^2$  به ترتیب  $0/9837$  و  $0/9837$  برای هم‌داماهای لانگومیر، فروندلیچ و تمکین به دست آمد که نشان‌دهنده‌ی تطابق بیشترین داده‌های تجربی و هم‌دامای تمکین نسبت به دو هم‌دامای دیگر است. نتیجه‌ها نشان داده است که نانوجاذب زئولیت کلینوپتیلولیت جاذب مؤثری برای حذف یون سیانید از محلول‌های آبی می‌باشد.

### قدرتداňی

از مرکز تحقیقات و آموزش کشاورزی و منابع طبیعی یزد به خاطر در اختیار قرار دادن مواد و تجهیزات آزمایشگاهی مورد نیاز سپاس‌گزاری می‌شود.

داده‌های تجربی جذب سطحی یون سیانید با نانوجاذب زئولیت کلینوپتیلولیت برای برآنش با هم‌دامای جذب سطحی تمکین در جدول ۴ نمایش داده شده است. همچنین مطابق شکل ۹ مقدار  $9/9837 = R^2$  به دست آمد که نشان می‌دهد هم‌دامای تمکین نسبت به دو هم‌دامای لانگومیر و فراندلیچ از همبستگی بالاتری برخوردار است.

### مقایسه درصدهای جذب جاذب‌های گوناگون برای حذف سیانید از محلول‌های آبی

همان‌گونه که پیش‌تر ذکر شد، تاکنون جاذب‌های متعددی برای حذف آنیون سیانید مورد استفاده قرار گرفته است که نتیجه‌های درصدهای جذب برای تعدادی از آن‌ها که عملکرد جاذب را بر اساس درصد جذب ارزیابی کرده‌اند، در جدول ۵ آورده شده است. بر اساس نتیجه‌های جدول ۵ جاذب استفاده شده در این کار پژوهشی (زئولیت کلینوپتیلولیت)، از جمله مناسب‌ترین جاذب‌ها برای جذب سطحی سیانید از محلول‌های آبی می‌باشد.

### نتیجه‌گیری

در این پژوهش، به بررسی روش جذب سطحی یون‌های سیانید با نانوجاذب زئولیت کلینوپتیلولیت و عامل‌های مؤثر بر آن پرداخته شده است. در ابتدا اثر عامل‌های گوناگونی مانند اثر pH اولیه محلول، اثر غلظت اولیه محلول، اثر مقدار جاذب، اثر زمان تماس و

### مراجع

- [1] Hasan S.H., Srivastava P., [Batch and Continuous Biosorption of Cu<sup>2+</sup> by Immobilized Biomass of \*Arthrobacter sp.\*, Journal of Environmental Management](#), **90**: 3313-3321 (2009).
- [2] Malakootian M., Yousefi N., Fatehizadeh A., [Survey Efficiency of Electrocoagulation on Nitrate Removal from Aqueous Solution, Journal of Environmental Science & Technology](#), **8**: 107-114 (2011).

- [3] Muthukumaran K., Beulah S., Removal of Chromium (VI) from Wastewater Using Chemically Activated Syzygium Jambolanum Nut Carbon by Batch Studies, *Journal of Procedia Environmental Sciences*, **4**: 266-280 (2011).
- [4] Mahvi A.H., Mohammadi M.J., Vosoughi M., Zahedi A., Hashemzadeh B., Asadi A., Pourfadakar S., Sodium Dodecyl Sulfate Modified-zeolite as a Promising Adsorbent for the Removal of Natural Organic Matter from Aqueous Environments, *Journal of Health Scope*, **5**: 11-18 (2016).
- [5] Fu F., Wang Q., Removal of Heavy Metal Ions from Wastewaters: A Review, *Journal of Environmental Management*, **92**: 407-418 (2011).
- [6] Moussavi G., Majidi F., Farzadkia M., Influence of Operational Parameters on Elimination of Cyanide from Wastewater Using the Electrocoagulation Process, *Journal of Desalination*, **280**: 127-133 (2011).
- [7] Parga J.R., Vázquez V., Casillas H.M., Valenzuela J.L., Cyanide Detoxification of Mining Wastewaters with TiO<sub>2</sub> Nanoparticles and its Recovery by Electrocoagulation, *Journal of Chemical Engineering & Technology*, **32**: 1901-1908 (2009).
- [8] Dash R.R., Gaur A, Balomajumder C., Cyanide in Industrial Wastewaters and its Removal: A Review on Biotreatment, *Journal of Hazardous Materials*, **163**: 1-11 (2009).
- [9] Liu Y., Ai K., Cheng X., Huo L., Lu L., Gold-nanocluster-based Fluorescent Sensors for Highly Sensitive and Selective Detection of Cyanide in Water, *Journal of Advanced Functional Materials*, **20**: 951-956 (2010).
- [10] Sobsey M., Bartram S., Water Quality and Health in the New Millennium: the Role of the World Health Organization Guidelines for Drinking-Water Quality, *Journal of In Forum of nutrition*, **56**: 396-405 (2003).
- [11] Han B, Shen Z, Wickramasinghe S.R., Cyanide Removal from Industrial Wastewaters Using Gas Membranes, *Journal of membrane science*, **257**: 171-181 (2005).
- [12] Gupta N., Balomajumder C., Agarwal V.K., Adsorption of Cyanide Ion on Pressmud Surface: A Modeling Approach. *Journal of Chemical Engineering*, **191**: 548-556 (2012).
- [13] Alver E., Metin, A. Ü., Anionic Dye Removal from Aqueous Solutions Using Modified Zeolite: Adsorption Kinetics and Isotherm Studies, *Journal of Chemical Engineering*, **15**: 59-67 (2012).
- [14] Chlopecka, A. and Adriano, D. C., Influence of Zeolite, Apatite and Fe-oxide on Cd and Pb Uptake by Crops, *Journal of Science the Total Environment*, **207**: 195-206 (1997).
- [15] Zorpas, A.A., Constantinides, T., Vlyssides, A.G., Haralambous, I., and Loizidou, M., Heavy Metal Uptake by Natural Zeolite and Metals Partitioning in Sewage Sludge Compost, *Journal of Bioresource Technology*, **72**: 113-119 (2000).
- [16] Kurama H., Çatalsarik T., Removal of Zinc Cyanide from a Leach Solution by an Anionic Ion-exchange Resin, *Journal of Desalination*, **129**: 1-6 (2000).
- [17] Adams M., Lloyd V., Cyanide Recovery by Tailings Washing and Pond Stripping, *Journal of Minerals Engineering*, **21**: 501-508 (2008).

- [۱۸] سمیعی بیرق ع، خدادادی ا، عبدالهی م، مشکینی م، بررسی فرایند حذف سیانید از آب سد باطله کارخانه فراوری طلای آقدر - تکاب با استفاده از کانی تالک، نشریه شیمی و مهندسی شیمی ایران، ۳۱(۲) ۳۲ تا ۳۱ (۱۳۹۱).
- [۱۹] مرجانی ا، عبدالی ن، حذف بون‌های روی و مس با زئولیت‌ها: مطالعه شبیه‌سازی دینامیکی مولکولی، نشریه شیمی و مهندسی شیمی ایران، ۳۹(۲) ۷ تا ۱ (۱۳۹۹).
- [۲۰] APHA AWWA, "WWF, Standard Methods for the Examination of Water and Wastewater", Washington. D.C, (2005).
- [۲۱] Nascimento M., Soares P.S.M., Souza V.P., Adsorption of Heavy Metal Cations Using Coal Fly Ash Modified by Hydrothermal Method, *Journal of Fuel*, 88: 1714-1719 (2009).
- [۲۲] Rani R.D., Sasidhar P., Sorption of Cesium on Clay Colloids: Kinetic and Thermodynamic Studies, *Aquatic Geochemistry*, 18(4): 281-296 (2012).
- [۲۳] الله ابدی ا، رحمانی ثانی ا، ساقی م، بهروزی خواه، صادقی ش، بهروزی خواه م.ر، بررسی حذف سیانید از زائدات خطرناک با استفاده از نانوذرهای آهن، مجله علمی - پژوهشی دانشگاه علوم پزشکی سبزوار، ۲۶(۱) ۶۳ تا ۷۱ (۱۳۹۸).
- [۲۴] نوروزی ر، نوری سپهر م، ضرابی م، جذب سیانید از محیط‌های آبی با استفاده از نانوذرهای هیدروکسی آپاتیت مغناطیسی سنتز شده به روش هیدروترمال: مطالعه سینتیک و ثابت‌های تعادل، سلامت و بهداشت، ۵(۴) ۲۷۵-۲۸۸ (۱۳۹۳).
- [۲۵] Naeem S., Zafar U., Adsorption Studies of Cyanide ( $\text{CN}^-$ ) on Alumina, *Pakistan Journal of Analytical & Environmental Chemistry*, 10(1): 83-87 (2009).
- [۲۶] سمیعی ع، خدادادی ا، عبدالهی م، بررسی جذب سیانید بر روی کربن فعال از آب سد باطله کارخانه فراوری طلای آقدر تکاب، دهمین کنگره ملی مهندسی شیمی ایران، زاهدان (۱۳۸۴).
- [۲۷] Barakat M.A., Chen Y.T., Huang C.P., Removal of Toxic Cyanide and Cu (II) Ions from Water by Illuminated  $\text{TiO}_2$  Catalyst, *Applied Catalysis B: Environmental*, 53(1): 13-20 (2004).